

III-35 摩擦性塑性体の降伏について 一 硬化塑性法則 一

九州大学農学部 橋口公一

I. 序論 摩擦性塑性材料特に土の変形挙動を明らかにする塑性力学的研究から多くの報告がなされるに至ったが、その基礎論となる硬化塑性法則が充分に明らかにされておらず、又、等方硬化を局限係数する場合においては諸問題が残されていると思われる。斯様な現状において、先づ金属塑性その他に於ける従来参考資料を元に、或いは更に詳解を加えて上記局限係数下の硬化塑性法則を一応の体系としてまとめてみた。更に、本論文を Softer than Critical における飽和土に適用すべく、その降伏則りの確立を試みたが、これを確定するに不可欠な情報を得るための適切な実測資料が未だ不充分であることを痛感せられた。しかし、これらの資料から予測し得る限りにおいて、先づ導いた硬化法則の適用に際して不可欠な硬化因数その他を決定し、更には降伏条件式の具体的提案を行なつた。なお、本論文をお読み頂くに当り、Hillの本¹⁾及び理想塑性材料に関する拙論²⁾を参考にて頂きたい。

II. 等方硬化法則 材料の塑性流動力が平均応力 P に無関係な場合には文献(1)にまとめられており、ここでは P には偏心応力の 2, 3 次不变量 J_2, J_3 が関与する一般の等方硬化材料、特に土の力学に適用して詳解する。なお、当然の事ながら Dilatancy を伴う Denser than Critical の状態は軟化現象であるので、ここに述べる諸論述は適用できないことを断つておく。

(1) 降伏面に関する仮定 ① いかなる直徑路を経てある塑性状態に到達しても、これに対する降伏曲(の形状及びサイズ)はその時の応力状態で一義的に決まる。従って、異なる直徑路によって到達した 2 つの降伏面は全然、共有关を持たないか、全く同一のいずれかである。又、ある適当な上比例負荷によって硬化状態を進展させることができ。金属塑性では通常、引張又は压缩試験を行なうが、 P が降伏面に關する上では等方圧縮(压強)試験を実施するのが最も容易である。② 降伏曲面式は応力に關する首次因数式である。従て、降伏曲面式を無次元表示すると唯一に決る。云い換えると、降伏曲は相似形を維持する。③ 硬化の程度は全塑性仕事のみの関数である。さて、仮定 ③ により 降伏条件式は $f(G_1, G_2, G_3) = f(P, J_2, J_3) = f(P, r \sin 3\theta) = C(WP) > 0 \dots (2.1)$ となる。ここで、 $P = \frac{1}{3}G_{ij}\delta_{ij}$, $G_{ij} = G_{ji} = P\delta_{ij}$, $J_2 = \frac{1}{2}S_{ij}S_{ki}S_{kj}$, $J_3 = \frac{1}{3}S_{ij}S_{kl}S_{km}S_{nl}$, $r = \sqrt{2J_2}$, $\sin 3\theta = -\frac{\sqrt{3}}{2}J_2^{\frac{3}{2}}J_3$, $WP = \int G_{ij}d\epsilon_{ij}^P \dots (2.2)$ である。なお、硬化を表すパラメータは C (硬化因数)だけで、 f には含まれない。又、 C は τ と同一次数の応力次元を有する。又、 C をある適当な比例負荷試験における負荷応力値 Y に選び、この Y に相応する τ を相当応力 τ とすれば、式(2.1)は $f(P, J_2, J_3) = Y(WP) > 0 \dots (2.1)'$ となる。なお、以下においては一般形(2.1)式について考察するが、 τ の応力次数を γ とし、 $f = f_\gamma$, $C = C_\gamma$ とすれば、導いた全式が式(2.1)'に対してもそのまま成り立つことは自明である。(なお、本論文において応力及び歪に用ひる諸量の符号は全て引張正とする。)

(2) 塑性歪増分-応力式 塑性歪増分 $d\epsilon_{ij}^P$ が、応力の中立変化($df=0$)に対して、零である条件は $d\epsilon_{ij}^P = G_{ij}df \dots (2.3)$ で満たされる。ここに、 G_{ij} は対称テンソルであり、応力及び歪張の関数であるが、応力増分の関数ではないとする。次で、等方性を仮定しているので、塑性歪増分の主軸は応力の主軸に一致せねばならないが、この条件は応力不变量 P, J_2, J_3 の関数である γ (塑性テンソル)及び λ により、式(2.3)を $d\epsilon_{ij}^P = h \frac{\partial \gamma}{\partial G_{ij}} df = h \frac{\partial \gamma}{\partial G_{ij}} C_\gamma WP$, $C_\gamma = \frac{dC}{dWP} \dots (2.4)$ とおくことにより満足される。以後、塑性ホテンシャル面についても降伏面における仮定②と同等のことが成り立つと仮定する。従って、 $G_{ij} \frac{\partial \gamma}{\partial G_{ij}} = n\gamma$ (n : γ の応力次数)が成り立ち、これを式(2.4)に用いると $nC_\gamma \gamma h = 1$ なる関係を得る。これにより式(2.4)は $d\epsilon_{ij}^P = \frac{1}{n\gamma} \frac{\partial \gamma}{\partial G_{ij}} df \dots (2.5)$ となる。又、降伏曲面と塑性ホテンシャル面は P 軸上の点で常に相交するといふと仮定すれば、 $d\epsilon_{ij}^P = \frac{1}{n\gamma} \frac{\partial \gamma}{\partial G_{ij}} df / C_\gamma \dots (2.6)$ となる。本式において $\frac{1}{n\gamma} \frac{df}{C_\gamma} = d\lambda > 0 \dots (2.7)$ とおけば、 $d\epsilon_{ij}^P = \frac{\partial f}{\partial G_{ij}} d\lambda = (\frac{1}{3} \frac{\partial f}{\partial P} \delta_{ij} + \frac{\partial f}{\partial J_2} S_{ij} + \frac{\partial f}{\partial J_3} t_{ij}) d\lambda = (\frac{1}{3} \frac{\partial f}{\partial P} \delta_{ij} + \frac{\partial f}{\partial r} \frac{S_{ij}}{r} + \frac{\partial f}{\partial \sin 3\theta} U_{ij}) d\lambda \dots (2.8)$ となる。ここで、 $t_{ij} = S_{ij}S_{jk} - \frac{2}{3}J_2\delta_{ij}$, $U_{ij} = \frac{3\sqrt{3}}{4}J_2^{-\frac{3}{2}}(3J_3S_{ij} - 2J_2t_{ij}) \dots (2.9)$ である。

(3) 塑性仕事増分 $f = g$ として塑性仕事増分 dW^P について詳解しよう。式(2.8)を用いて $dW^P = G_{ij}d\epsilon_{ij}^P = n\gamma d\lambda = (P \frac{\partial f}{\partial P} + 2J_2 \frac{\partial f}{\partial J_2} + 3J_3 \frac{\partial f}{\partial J_3}) d\lambda = (P \frac{\partial f}{\partial P} + r \frac{\partial f}{\partial r}) d\lambda \dots (2.10)$ を得る。次に、 dW^P の応力不变量及び塑性歪増分不变量による表現について考察を進める。ここでは歪増分不变量として $dr = d\epsilon_{ij}\delta_{ij}$, $dE = (d\epsilon_{ij}d\epsilon_{ij})^{\frac{1}{2}}$, $dE_r = (d\epsilon_{ij}'d\epsilon_{ij}')^{\frac{1}{2}}$, $dE_S = (d\epsilon_{ij}'d\epsilon_{ij}d\epsilon_{kl}d\epsilon_{kl})^{\frac{1}{2}}$... (2.11)を用いる。ここで、 $d\epsilon_{ij}' = d\epsilon_{ij} - \frac{1}{3}dr\delta_{ij}$ であり。又、 dE, dE_r, dE_S は大きさ $G = (G_{ij}G_{ji})^{\frac{1}{2}}$, r 及び $S = (3J_3)^{\frac{1}{3}}$ に対するように選んだ歪増分不变量

である。なお、これらの諸量の弹性及び塑性成分を区別する際には表記 Superfix P & S が用いられる。さて、 dW^P を不変量表示する方法として式(2.11)に式(2.8)を代入して得られる式を $\frac{\partial f}{\partial P}, \frac{\partial f}{\partial J_2}, d\lambda, \frac{\partial f}{\partial J_3}$ について解いてこれらを不変量表示した結果を式(1.10)に代入することが考えられる。しかし、 $\frac{\partial f}{\partial P} d\lambda = d\sigma^P -$ (2.12) は容易に得られるが、これ以外については既に後述するように、本法では一般に解けない。従って、次に別の視点から考察しよう。さて、図-1には P 軸由に垂直な面による降伏曲面及び塑性オシレラル面の切口線上に作用する諸不変量の状態(斜上方から見た)を示す。同図を参照して θ と $d\bar{E}^P$ のたす角を α とすると $dW^P = \bar{E} \cdot d\bar{E}^P = E \cdot d\bar{E}^P \cos \delta = E \cdot d\bar{E}^P [\cos \alpha \sin \beta + \sin \alpha \cos \beta]$ $\cos(\psi - \theta) = P d\sigma^P + r d\bar{E}^P \cos(\psi - \theta)$ ……(2.13) となる。ここで、 θ 及び ψ は次々、 $\theta = \tan^{-1}\left(\frac{M}{\sqrt{3}P}\right) = \tan^{-1}\left(\frac{2G_2 - G_1 - G_3}{\sqrt{3}(G_1 - G_3)}\right) = -\frac{1}{3} \sin^{-1}\left(\sqrt{3}\left(\frac{S}{P}\right)^3\right), \psi = \tan^{-1}\left(\frac{M}{\sqrt{3}P}\right) = \tan^{-1}\left(\frac{2(G_2^P - dE_2^P - dE_3^P)}{\sqrt{3}(dE_2^P - dE_3^P)}\right) = -\frac{1}{3} \sin^{-1}\left(\sqrt{3}\left(\frac{dE_2^P}{dE_3^P}\right)^3\right)$ ……(2.14) である。 M, P は Lode パラメータである。本式を式(2.13)に用いると $dW^P = P d\sigma^P + r d\bar{E}^P \cos\left[\frac{1}{3}\sin^{-1}\left(\sqrt{3}\left(\frac{S}{P}\right)^3\right) - \sin^{-1}\left(\sqrt{3}\left(\frac{dE_2^P}{dE_3^P}\right)^3\right)\right]$ ……(2.15) となり、不変量表示がなされた。

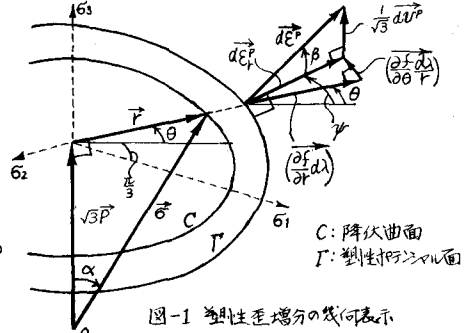


図-1 塑性歪増分の方向表示

(3) 相当歪硬化説について (1)節において後説③“硬化の程度は全塑性化率の関数”を採用したが、硬化に関するもう一つの後説“硬化の程度は相当塑性歪増分 $d\bar{E}^P$ の集積値の関数”: $f(P, J_2, J_3) = H(d\bar{E}^P)$ ……(2.16) がある。ここで、一般には dW^P (或いは $d\lambda$) は $f(P, J_2, J_3)$ と $d\bar{E}^P$ だけの関数ではないので(式(2.10), (2.15)参照)、両後説は一致せず、 $C(W^P)$ を $H(d\bar{E}^P)$ による取り扱い易い形に置きかえることはできない。両後説が一致する特別な場合として金属塑性における $f(J_2)$, $d\bar{E}^P = dE^P$ は周知の通りである。他の特別な場合として $f = a \cdot P + b \cdot R(J_2, J_3)$ (a, b : 材料定数) ……(2.17) の場合には式(2.12)より $d\lambda = \frac{1}{a} d\sigma^P$ ……(2.18) となり、これを式(2.1), (2.10) に考慮すると $f = C\left(\frac{n}{a} d\sigma^P\right) \rightarrow f = H(d\bar{E}^P)$ となるので、両後説は一致し、 $d\sigma^P$ を $d\bar{E}^P$ として採用し得る。更に、式(2.17)の限界された場合として $f = ap + b\sqrt{J_2}$ ……(2.19) の場合には既流の式(12)より $d\lambda = \frac{2}{b} dE^P$ ……(2.20) となるので、 $d\sigma^P$ 及び dE^P のいずれを $d\bar{E}^P$ と用い得るところである。この特別な場合の降伏曲面は直錐面(式(2.19)の場合は円錐面)であるが、斯称なる材料が存在するか否かは疑問である。Palmer³⁾ の湿润塑性土の3軸圧縮状態に対する提案式がこれに属する。又、Extd. Mises則等も形式的には全く同じであるが、実際には軟化現象であり、尚題外である。

(4) 弹性歪(増分)について 弾性歪 E_{ij}^r は一般に弾性コンプレンゼン工学的関数 $W_e(P, J_2, J_3)$ により $E_{ij}^r = \frac{\partial W_e}{\partial S_{ij}}$ ……(2.21) で与えられる。Hooke弾性の場合には $W_e = \frac{J_2}{2G} + \frac{3(1-2\nu)}{2E} P^2, dE_{ij}^r = \frac{dS_{ij}}{2G} + \frac{1-\nu}{E} dP S_{ij}$ ……(2.22) であることは周知の通りである。ここで、一般的非-Hooke弾性体では式(2.8)との類似により $E_{ij}^r = \frac{1}{3} \frac{\partial W_e}{\partial P} S_{ij} + \frac{\partial W_e}{\partial J_i} S_{ij} + \frac{\partial W_e}{\partial J_3} t_{ij}$ ……(2.23) となり、一般に非線形の複雑な問題となる。

(5) 平面歪問題について 一般的応力或いは歪状態では弾性歪及び塑性歪増分の主軸は主応力軸と一致するが、弾性歪増分の主軸はこれと一致せば応力増分の主軸と一致する。ここで平面問題では無歪或いは無応力の主方向は全ての諸量の主方向である(例2.18: 平面歪問題では無歪(増分)の主軸は等方性の復元割り応力(増分)の主軸である。平面応力問題ではこれが逆が成り立つ)。さて、従論²⁾に述べてあるように弾性歪を考慮しない場合には、無歪の主方向の応力及び塑性歪増分を G_2, dE_2^P とすると平面歪条件は式(2.8)より $dE_2^P(P, \sqrt{J_2}, M) = 0$ ……(2.24) と表される。脚注* 式(2.8)の諸式を式(1.11)に用いると① $\frac{\partial f}{\partial J_2}, \frac{\partial f}{\partial J_3}$ の場合: $dE^P = [2J_2(\frac{\partial f}{\partial J_2})^2 + 6J_3(\frac{\partial f}{\partial J_2})(\frac{\partial f}{\partial J_3}) + \frac{2}{3}J_2^2(\frac{\partial f}{\partial J_3})^2]^\frac{1}{2} d\lambda, dE_S = [J_3(\frac{\partial f}{\partial J_3})^3 + \frac{2}{3}J_2^2(\frac{\partial f}{\partial J_3})^2 + J_2J_3(\frac{\partial f}{\partial J_2})(\frac{\partial f}{\partial J_3}) + (J_2^2 - \frac{2}{3}J_3^2)(\frac{\partial f}{\partial J_3})^3]^\frac{1}{2} d\lambda$ ……(1a) ② $\frac{\partial f}{\partial r}, \frac{\partial f}{\partial \sin 30}$ の場合: $dE^P = [(\frac{\partial f}{\partial r})^2 + (\frac{3}{r} \cos 30)(\frac{\partial f}{\partial \sin 30})]^{\frac{1}{2}} d\lambda, dE_S = [\frac{\sin 30(\frac{\partial f}{\partial r})^2 - 3\sqrt{\frac{3}{2}} \cos 30(\frac{\partial f}{\partial r})^2(\frac{\partial f}{\partial \sin 30}) + 9\sqrt{\frac{3}{2}} \sin 30 \cos 30(\frac{\partial f}{\partial r})^2 + 9\sqrt{\frac{3}{2}} \cos 30(\frac{\partial f}{\partial r})^2(\frac{\partial f}{\partial \sin 30})^3]^\frac{1}{2} d\lambda$ ……(1b) ③ $\frac{\partial f}{\partial r}, \frac{\partial f}{\partial \cos 30}$ の場合: 式(1b)に $\frac{\partial f}{\partial \sin 30} = \frac{1}{3 \cos 30} \frac{\partial f}{\partial r}$ の関係を用いて $dE^P = [(\frac{\partial f}{\partial r})^2 + (\frac{1}{r} \frac{\partial f}{\partial \cos 30})^2]^\frac{1}{2} d\lambda, dE_S = [-\frac{\sin 30(\frac{\partial f}{\partial r})^2}{\sqrt{\frac{3}{2}}} - \frac{\sqrt{\frac{3}{2}} \cos 30(\frac{\partial f}{\partial r})^2(\frac{\partial f}{\partial \cos 30}) + \sqrt{\frac{3}{2}} \cos 30(\frac{\partial f}{\partial r})^2(\frac{\partial f}{\partial \cos 30})^3]^\frac{1}{2} d\lambda$ ……(1c) 得る。以上の諸式は f が与えられた場合の塑性歪増分不変量 dE^P 及び dE_S の表示式である。ところで、これら3組の式はいずれも $\frac{\partial f}{\partial J_2}, \frac{\partial f}{\partial J_3}, d\lambda$ に用いる少くとも6次以上の方程式を構成しているので、直接これらを解くことは不可能であろう。そこで、これらの諸式に式(2.15)を併用すると解を求めることができる。式(1.10), (1.12), (1.13)より、塑性仕事増分の偏差成分 $dW^P = 2J_2 \frac{\partial f}{\partial J_2} + 3J_3 \frac{\partial f}{\partial J_3} d\lambda = r \frac{\partial f}{\partial r} d\lambda = r dE^P \cos(\psi - \theta)$ ……(2) となる。従て $\frac{\partial f}{\partial r} d\lambda = dE^P \cos(\psi - \theta)$ ……(3) と不変量表示がなされ、更に式(3)を式(1c)の第1式に用いると $\frac{\partial f}{\partial r} d\lambda = 3 \cos 30 \frac{\partial f}{\partial \sin 30} d\lambda = d\lambda = r dE^P \sin(\psi - \theta)$ ……(4) と不変量表示が可能である。 $\frac{\partial f}{\partial r} d\lambda$ 及び $\frac{\partial f}{\partial \cos 30} d\lambda$ についても同様に求め得る。

される。ここで、 $P' = \frac{1}{2} G_{ij} s_{ij}$ とすると、 $\sqrt{J_2} = \sqrt{\frac{1}{2} S_{ij} s_{ij}} = \frac{(G_{ij} + G_{ji})^2}{2}$ 、 $S_{ij} = G_{ij} - P' s_{ij}$ ； $i, j = x, y$ である。一方、式(2.1)を $f(P, \sqrt{J_2}, \mu) = C(W)$ ……(2.25) と表され、これに式(2.24)を用いて μ を消去すれば、平面歪における降伏条件式 $f(P, \sqrt{J_2}) = C(W')$ ……(2.26) が得られる。これは塑性歪増分式 $d\varepsilon_{ij}^P = \left(\frac{\partial f}{\partial P} \frac{\delta s_{ij}}{2} + \frac{\partial f}{\partial \sqrt{J_2}} \frac{S_{ij}}{2\sqrt{J_2}} \right) d\lambda$ ……(2.27) となる。そこで、弾性歪増分を考慮すると平面歪条件式(2.24)は上述の3つの量の他に、応力増分の関数となる。これは理論展開上或は実際計算上、非常に難解な面を生む。このことは幾何学的には彈性歪を無視する場合に手が取れないが、それに付する μ 値が考慮されれば平面 $G_2 = P' + \mu \sqrt{J_2}$ が定まり、この平面と降伏曲面との交線（3次元主応力空間における降伏曲面の $G_{ij} + G_{ji}$ 面への射影）が平面歪の応力状態を与える。一方、弾性歪（増分）を考慮すると斜め面（一般には曲面となり）は変化する。以上の理由により、平面歪問題を取り扱う場合には弾性歪（増分）は無視せざるを得ない。

III. 土の力学へ硬化法則を適用するに当つての基礎的諸問題 本章では前章で詳察した諸論議を上の力学へ適用する際に不可欠な基礎事項、或いは次章で降伏曲面を決定する際に明らかにしておかねばならない事項について詳察しておく。なお、前章(1)節で一般等方性材料に対する3つの仮定を立てたが、更に、土に関する4つの仮定を設ける：仮定④主応力空間における降伏曲面は「原点に向いて伸び形」を維持する。従て、ある比例負荷 ($\frac{P}{V} = \text{const.}$, $\theta = \text{const.}$) において通過する降伏曲面上の變の法線の方向は一定である。又、原点を通るいかなる線分も、ある2つの降伏曲面によって分断される際、その原点側の長さと2曲面間の長さの比は一定である。なお、本仮定は正規圧密圧力が零の時、強度を有しないとみなせる土に対しては真である。又、この仮定により、理論を大中に簡略化し得る。

(1) 硬化率の決定 ある塑性状態において応力値が与えられれば、塑性歪増分 $d\varepsilon_{ij}^P$ の方向が決まるが、その大きさを決定するには与えられた応力増分値 dG_{ij} に従う $d\varepsilon_{ij}^P = \frac{\partial f}{\partial G_{ij}} dG_{ij} = dY$ と dW' の微分関係、即ち、硬化率 $Y' = \frac{dY}{dW'}$ ……(3.1) をある適当な試験から決定する問題が残る。さて、仮定⑦の處で述べたように本決定に際して正規圧密試験を採用すれば、正規圧密圧力を P_0 として式(2.1)を $f(P, J_2, J_3) = -P_0(W') > 0$ ……(3.2), $Y' = -\frac{dP_0}{dW'}$ ……(3.3) となる。さて、一般に行われる様に図-2の体積 V -圧密圧力 $\log(-P)$ 表示の正規圧密及び除荷・負荷線が直線 K なると仮定し、正規圧密線： $V_0 = V_0 - \lambda \log(-P_0)$ ……(3.4)、除荷・負荷線： $V = V_0 - K \log(-P)$ ……(3.5) としよう。ここに、 V_0 、 λ 、 K は材料定数であるが、 V_0 は $V_0 = V_0 - (\lambda - K) \log(-P_0)$ ……(3.6) なる変数である。なお、正規圧密状態の V 及び dV を、 P_0 と同様に、 V_0 及び dV_0 と区別すれば、式(3.4)より、 $dV_0 = -\frac{\lambda}{V_0} \frac{dP_0}{P_0}$ ……(3.7) となる。他方、等方応力状態における弾性体積歪増分式(3.5)より $dV_0^r = \frac{dV_0}{V} = -\frac{K}{V} \frac{dP}{P}$ ……(3.8) となる。式(3.7)及(3.8)より $dV_0^P = dV_0 - dV_0^r = -\frac{\lambda - K}{V_0} \frac{dP_0}{P_0}$ ……(3.9) となる。式(3.9)によると正規圧密状態における塑性歪増分は $dW' = P_0 dV_0^P = -\frac{\lambda - K}{V_0 - \lambda \log(-P_0)} dP_0$ となり、本式を式(3.3)に用いると硬化率 $Y' = \frac{V_0 - \lambda \log(-P_0)}{\lambda - K}$ が得られる。更に、 $V_0 = V_0 - \lambda \log(-P_0)$ ……(3.10) を得る。

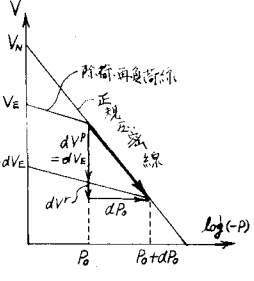


図-2 圧密試験図

(2) 塑性歪増分-応力式 上に得られた硬化率式(3.10)を式(2.6)に用いると塑性歪増分-応力式 $d\varepsilon_{ij}^P = \frac{\lambda - K}{V_0 - \lambda \log(-P_0)} \frac{\partial f}{\partial G_{ij}} \frac{dF}{f}$ ……(3.11) が得る。本式により応力及びその増分が指定されば、塑性歪増分 $d\varepsilon_{ij}^P$ を決定できることになる。

(3) 弹性歪増分について 土の場合には式(3.8)を認めれば、等方圧密の場合と同様、弾性歪（増分）-応力（増分）関係に一次線型性は期待できない。非Hooke弾性体と考へざるを得ない。しかし、本論体に対する充分な説明は省略しておらず、以下の如き、いかなる条件下でも（偏差応力の作用下でも）、式(3.8)が成立立つ考へ、本式に示された弾性成分のみを考えている実状である。これは式(2.24)において弾性歪の体積歪成分のみを考へ、その偏差成分 $\frac{\partial W}{\partial J_2} S_{ij} + \frac{\partial W}{\partial J_3} S_{ij}$ を無視し、更に W が等方応力 P の項と偏差応力 J_2, J_3 の項の和の形になるとして考へていることによる。或いは更に簡単に $W_c(P)$ と考へていることによる。さて、更に、厳密な弾性歪についても実験的性の充分な検討がなされておらず、理論と組み入れると、ここで、式(3.8)に基く弾性歪増分のみが可能であるとした。ある既知の初期状態 $P = P_i$, $K = 0$, $V = V_i$ に対する P_0 は $\log(-P_0) = \frac{V_i - V_i - K \log(-P_i)}{\lambda - K}$ ……(3.12) と考へられる。さて、 $\log \frac{P}{P_0} \leq 0$ のなる弾性限内では式(3.5)より $V = V_i - K \log(\frac{P}{P_i})$ であるから弾性歪増分は $d\varepsilon_{ij}^E = \frac{1}{3} dV^r S_{ij} = -\frac{1}{3} \frac{K}{V_i - K \log(P_i)} \frac{dP}{P}$ ……(3.13) と考へられる。 $\log \frac{P}{P_0} > 0$ 且つ $-dP > 0$ のる塑性状態では $V = V_i - \log(-P) + K \log(\frac{P}{P_i}) = V_i - (\lambda - K) \log \frac{P}{P_i} - K \log(-P)$ であるので $d\varepsilon_{ij}^E = -\frac{1}{3} \frac{K}{V_i + (\lambda - K) \log \frac{P}{P_i} - K \log(-P)} \frac{dP}{P} S_{ij}$ ……(3.14) となる。

(4) 3軸圧縮状態について 従来、本状態に関する実験データが最も多いので基礎的考察をとめておく。 $G_1 = G_2 > G_3$ であるが、 $P = \frac{f}{3}(G_1 + G_3)$, $\gamma = \sqrt{\frac{P}{G_3}}(G_1 - G_3)$, $S = -\frac{G_3^{\frac{1}{2}}}{3}(G_1 - G_3) = -G_3^{\frac{1}{2}}\gamma$ ……(3.15)となる。式(2.14)より $\theta = \frac{\pi}{8}$ である。又、これと脚注の式(1b)に用いると $dE_P^P = \frac{2f}{3}d\lambda$, $dE_S^P = -G_3^{\frac{1}{2}}d\lambda = -G_3^{\frac{1}{2}}dE_P^P$ ……(3.16)となり、 $\psi = \theta = \frac{\pi}{8}$ となる。これは幾何学的には応力ベクトルの方向が塑性歪増分ベクトルの方向へ一致することを意味するが等方性の仮定により降伏曲面が主応力軸に関して対称なることから当然である。従って本状態では応力の独立な変数は2個だけ(例えは、 P, γ のみ)であるから、降伏曲線(式(3.2))より $\bar{\gamma}(P, \gamma) = -P/(W^P)$ ……(3.17)として考えればよい。又、塑性仕事増分は式(2.15)より $dW^P = PdV^P + VdE_P^P$ ……(3.18)となる。さて、仮定④により、本状態における降伏関数式(P, γ)の形は $\bar{\gamma} = \frac{P}{P_0}$ ……(3.19)により、一意的に決るので、式(3.17)は $\bar{\gamma}(P, \gamma P) = P \cdot \bar{f}_1(\gamma) = -P_0/(W^P)$ ……(3.20)となる。これにより、 $dE_P^P = \frac{2f}{3}d\lambda = \frac{\partial \bar{f}_1}{\partial \gamma} d\lambda$, $dV^P = \frac{2f}{3}d\lambda = (-\frac{\partial \bar{f}_1}{\partial P} + f_1)d\lambda$ ……(3.21)となり、 $\frac{dE_P^P}{dV^P} = -\frac{dP}{d\gamma} = \frac{\partial \bar{f}_1}{\partial \gamma} / (-\frac{\partial \bar{f}_1}{\partial P} + f_1)$ ……(3.21)なる関係式を得る。

IV. 土の降伏条件式

本章では前章迄に残されている最後の問題、降伏条件式について詳察する。

(1) Critical State Surface (C.S.S.)について Roscoeは土が充分大きな変形を受けた後には体積変化は停止し、形状変形のみが進行すること、更に斯様な状態では γ 値が土性による定値をとることを見い出し、Critical State と名付けている。これは仮定②の妥当性を実証するものと解される。又、斯様な状態は硬化($d\theta < 0$)から軟化($d\theta > 0$)への過渡領域($d\theta = 0$)と考えられる。従て、軟化の極限の状態とみなされる C.S.S. は接線論²⁾で明らかにした軟化状態に対する降伏則において $C_t = 0$, $\sin \phi_t = \frac{3M_c}{2\sqrt{8} + M_c}$ ($M_c = (\gamma)_c$)_{comp} として、 $\gamma = -\frac{3M_c}{2\sqrt{8} + M_c} [G'_4 - \sin 30^\circ H'_4]^{\frac{1}{2}}$; $G'_4 = \frac{\sqrt{3}(M_c^2 + A^2)^2 + 36M_c^2 \cdot A^2}{64A^2}$, $H'_4 = \frac{9M_c(M_c^2 + A^2)}{16A^2}$, $A = 2\sqrt{8} + M_c$ ……(3.22)で表現されよう。

(2) 降伏則設定に際しての条件 従来の実測データから降伏則設定に際して提供得るのは次の3条件のみである。④正規圧密において $\frac{dE_P^P}{dV^P} = 0$, ⑤ C.S.において $\frac{dE_P^P}{dV^P} \rightarrow -\infty$ ⑥ 3軸状態の C.S. line を $V = V_c - \lambda \log(-P_{cs})$ とすれば、 $\frac{P_{cs}}{P_0} = C^{-\frac{V_c - V_c}{\lambda - \lambda_c}}$ (λ_c とあく)……(3.23) を満たさねばならない。さて、これらの条件は降伏曲面の兩極限状態と関するものであり、その中間域の条件を規定し得ない美状では降伏則を唯一に確定し得ないが、以下にこれらの3条件を考慮しつゝ、考察を進める。

(3) 3軸圧縮状態における降伏則の考察 本状態に対する降伏則として過去に提案されたものとして Roscoe⁴⁾, Burland⁵⁾ 及び Palmer⁶⁾の諸則がある。Roscoe⁴⁾及び Palmer⁶⁾の条件④或いは⑤に反し、論外であろう。又で、Burland⁵⁾の条件④及び⑤を満し、又、条件①においては $\lambda = 0.5$ と定値をとっている。従は $dW^P = -P/[((dV^P)^2 + (MdE_P^P)^2)]$ ……(3.24) を仮定し、本式と式(3.18)より $\frac{dE_P^P}{dV^P} = \frac{2f}{M_c^2 \gamma^2}$ ……(3.25) を得、これから降伏曲線 $\bar{\gamma} = -P \frac{M_c^2 + \gamma^2}{M_c^2} = -P_0$ ……(3.26) を提案している。さて、条件④、⑤を満たす塑性仕事増分式(3.24)がり唯一ではなく無数のものが考えられる。例えは、Simplex⁷⁾のものとして $dW^P = -P/[(dV^P)^2 - P(dV^P)dE_P^P + (MdE_P^P)^2]$ ……(3.27) を仮定すれば、 $\frac{dE_P^P}{dV^P} = \frac{\gamma}{M_c^2 \gamma^2}$ ……(3.28) となし、降伏則 $\bar{\gamma} = -P C^{-\frac{\gamma^2}{2M_c^2}} = -P_0$ ……(3.29) を得る。本式の方が Parry⁸⁾ 等の実測値とは旨く合うと思われる。又、条件④においては $\lambda = \frac{1}{\sqrt{8}}$ と定値である。しかし、斯様な土性によると条件④の λ_c 定値になるか否かについては詳細な検討を要しよう。

(4) 3次元降伏条件式 前節で述べたように、局限された3軸状態においても降伏曲線を確定し得ない実状であるが、差し当たり、上に見いたやく Burland 式⁵⁾及び式(3.29)について、これらを(1)節で考察した C.S.S. 満足するに3次元状態へ拡張しておこう。なお、その前提として “ $\lambda = \frac{P_{cs}}{P_0}$ は土性によると又、日直によると定値である” と仮定する。本仮定は条件④を再限定するのであり、又、これが妥当なところであるか否かは更に検討を要するが、理論を実証化する意味でこれを認めて論を進めることにする。 M_c を式(3.22)の λ_c とおきがて Burland 式の拡張: $\bar{\gamma} = -P \left[\frac{(3M_c)^2}{2\sqrt{8} + M_c} (G'_4 - \sin 30^\circ H'_4)^{\frac{1}{2}} + \gamma^2 \right] / \left[\frac{(3M_c)^2}{2\sqrt{8} + M_c} (G'_4 - \sin 30^\circ H'_4)^{\frac{1}{2}} \right] = -P_0$ ……(3.30) 及び式(3.29)の拡張: $\bar{\gamma} = -P \exp \left[\frac{\gamma^2}{2} \left(\frac{2\sqrt{8} + M_c}{3M_c} \right)^2 (G'_4 - \sin 30^\circ H'_4)^{\frac{1}{2}} \right] = -P_0$ ……(3.31) を得る。

V. 結語 以上、摩擦性塑性材料特に土の塑性法則を一応の力学系としてまとめ得たと思う。しかし、主の力学の中心課題である降伏則等を確定し得なかることが大戻りであるが、今后実験値との照査を行いつゝ詳説を行いたい。又で、実際材料を近似化する際は、その実験特性の確かなデータが不可欠であるが、実験者の主觀によると合の良い不確かなデータが示めされている。例えは、Roscoe⁴⁾則が過去時刻ではそれらのう柳井データ⁹⁾が示され(Roscoe, Schofield, 太田他)、又、Burland⁵⁾則が示されば老い合のうデータ(Roscoe⁴⁾則)が示めされる実状である。

ここに、確定し得るか否かの諸問題点について今後、客觀事実により忠実な実測値の提供に期待したい。

(参考文献) 1) Math. Theo. Plasticity, 2) 土木学会論文集, 199号, 3) Geotech. Vol. 17, 4) Geotech. Vol. 13, 5) Geotech. Vol. 15, 6) Geotech. Vol. 10